

СООБЩЕНИЯ
ОБЪЕДИНЕННОГО
ИНСТИТУТА
ЯДЕРНЫХ
ИССЛЕДОВАНИЙ
ДУБНА



С 341.1б
К-487

P15 - 8810

4/rIII-78

О.Е.Крафт, Ю.В.Наумов, С.С.Паржицкий, И.В.Сизов

2758/2-75

ГАММА-РАСПАД $P_{1/2}$, $f_{5/2}$,

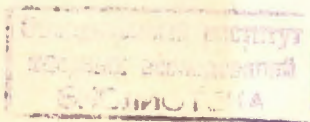
$P_{3/2}$ АНАЛОГОВЫХ РЕЗОНАНСОВ В $^{63}_{\text{Cu}}$

1975

P15 - 8810

О.Е.Крафт, Ю.В.Наумов, С.С.Паржицкий, И.В.Сизов

ГАММА-РАСПАД $p_{1/2}$, $f_{5/2}$,
 $p_{3/2}$ АНАЛОГОВЫХ РЕЗОНАНСОВ В ^{63}Cu



Крафт О.Е., Наумов Ю.В., Паржицкий С.С., Сизов И.В. Р15 - 8810

Гамма-распад $p_{1/2}$, $f_{5/2}$, $p_{3/2}$ аналоговых резонансов в ^{63}Cu

В работе исследован гамма-распад аналоговых резонансов в ^{63}Cu . В функции возбуждения реакции $^{62}\text{Ni}(p,\gamma)^{63}\text{Cu}$ обнаружены резонансы при $E_p = 2481, 2546, 2556$ и 2659 кэВ, которые идентифицированы как $P1/2$ - $f_{5/2}$ -и $P3/2$ -аналоги основного, первого и второго возбужденных состояний ^{63}Ni . Измерены γ -спектры каждого резонанса, определены парциальные и полные гамма-ширины.

Обсуждаются вопросы о переходах с аналога на антианалог и на состояния типа поляризации остова. Сравниваются вероятности аналоговых β -и γ -переходов.

Работа выполнена в Лаборатории нейтронной физики ОИЯИ.

Сообщение Объединенного института ядерных исследований
Дубна 1975

Kraft O.E., Naumov Yu.V., Parzhitsky S.S., Р15 - 8810
Sizov V.I.

γ -Decay of the Analog Resonances in ^{63}Cu

The gamma-decay of the analog resonances in ^{63}Cu was investigated. The measurements were performed with Van de Graaff accelerator ($E_{p,\max} = 5$ MeV) of the Neutron Physics Laboratory of JINR. The resonances at the $E_p = 2481, 2546, 2556$ and 2659 keV. were identified as $p_{1/2}, f_{5/2}$ (two components) and $p_{3/2}$ analog states of the ground, first and second excited states of ^{63}Ni . The gamma spectra were measured with GeLi detectors and partial gamma-widths were deduced.

It is found the concentration of the M1 strength in the excitation energy around 3-4 MeV. The strength of the analog-antianalog and analog-corepolarization state transitions are discussed. The analog β and γ -transitions are compared.

Communication of the Joint Institute for Nuclear Research
Dubna 1975

Изучение гамма-распада аналоговых резонансов позволяет получить богатую информацию о ядерной структуре. Это во многом определяется природой аналогового состояния, волновая функция которого хорошо известна, несмотря на большую энергию возбуждения. Данные о гамма-распаде аналогов можно использовать для определения волновых функций низколежащих состояний, на которые происходит распад. Анализ показывает, что информация о ядерной структуре, получаемая при изучении гамма-распада аналогов, качественно похожа на получаемую при изучении β -распада, но для значительно большего диапазона энергий возбуждения.

Исследование γ -переходов типа аналог-антаналог дает сведения о свойствах одиночастичных состояний. Из гамма-распада аналогов можно получить информацию о ядерных возбуждениях коллективного типа. Во многих ядрах интенсивно заселяются состояния, которые можно интерпретировать как состояния типа поляризации остова.

Гамма-распад аналогов привлек к себе внимание сравнительно недавно. Одним из первых обзоров по этому вопросу является работа ¹/₁. Краткий обзор основных проблем можно найти в ²/₂ и ³/₃.

Настоящая работа является продолжением цикла исследований, предпринятых для изучения гамма-распада аналогов в ядрах $2p1f$ -оболочки. В работах ⁴⁻⁷/₄₋₇ были изложены результаты исследований гамма-распада $P3/2^-$, $f_{5/2}^-$ и $P1/2^-$ -аналогов в ^{61}Cu . Здесь приводятся данные о гамма-распаде $P1/2$ -, $f_{5/2}$; $P3/2$ -аналогов в ^{63}Cu . Часть этих данных была опубликована нами в ⁸⁻¹⁰/₈₋₁₀.

Эксперимент и результаты

Аналоги в ^{63}Cu возбуждались в реакции $^{62}\text{Ni}(\text{p}\gamma)^{63}\text{Cu}_2$. Мишень ^{62}Ni /95,6% обогащения/ толщиной 10 мкг/см облучалась протонами, ускоренными на электростатическом генераторе ЛИФ ОИЯИ / $E_{\text{p max}} = 5 \text{ МэВ}$. Токи составляли 5-10 мкA. Monoхроматичность пучка была лучше $5 \cdot 10^{-4}$.

Аналоги основного ($P_{1/2}$) и второго возбужденного /158 кэВ, $P_{3/2}$ / состояний ^{63}Ni в ^{63}Cu были установлены в работе /11/ при изучении реакции упругого рассеяния протонов на ^{62}Ni . В этой работе измерялась функция возбуждения в реакции $^{62}\text{Ni}(\text{pp}_0)$ с высоким разрешением. Резонансы с большими протонными ширинами и значениями $J'' = 1/2^-$ и $3/2^-$ при энергиях протонов $E = 2481$ и 2659 кэВ были отождествлены авторами с аналогами $P_{1/2}$ и $P_{3/2}$ соответственно. Аналог первого возбужденного состояния ^{63}Ni / 88 кэВ, $f_{5/2}$ / в реакции (pp₀) не проявился, что, по-видимому, объясняется большим центробежным барьером для $\ell_p = 3$. Аналог $P_{1/2}$ наблюдался также в работе /12/.

Так как энергии $P_{1/2}$ -и $P_{3/2}$ -аналогов с точностью 2-3 кэВ установлены в реакции упругого рассеяния протонов, то идентификация их в реакции ($\text{p}\gamma$) не представляла большой трудности. Функция возбуждения изучалась нами с помощью кристалла NaJ(Tl) размерами 100x100 мм. Порог дискриминации был выбран так, чтобы регистрировать γ -кванты с энергией $> 3 \text{ МэВ}$. Участок функции возбуждения в области энергий 2460-2490 кэВ представлен на рис. 1. При энергии $E_p = 2481 \text{ кэВ}$ виден пик, соответствующий $P_{1/2}$ -аналогу. Таким же образом был идентифицирован $P_{3/2}$ -аналог при $E_p = 2659 \text{ кэВ}/\text{см}$. рис. 1/.

Более сложным был поиск $f_{5/2}$ -аналога, положение которого в реакции (pp₀) не установлено. Между тем в реакции ($\text{p}\gamma$) он мог быть обнаружен.

Примерное положение $f_{5/2}$ -аналога можно оценить, зная положение аналога основного состояния ^{63}Ni . Однако неопределенность этой оценки составляет ~ 30-40 кэВ /она связана с неопределенностью величины

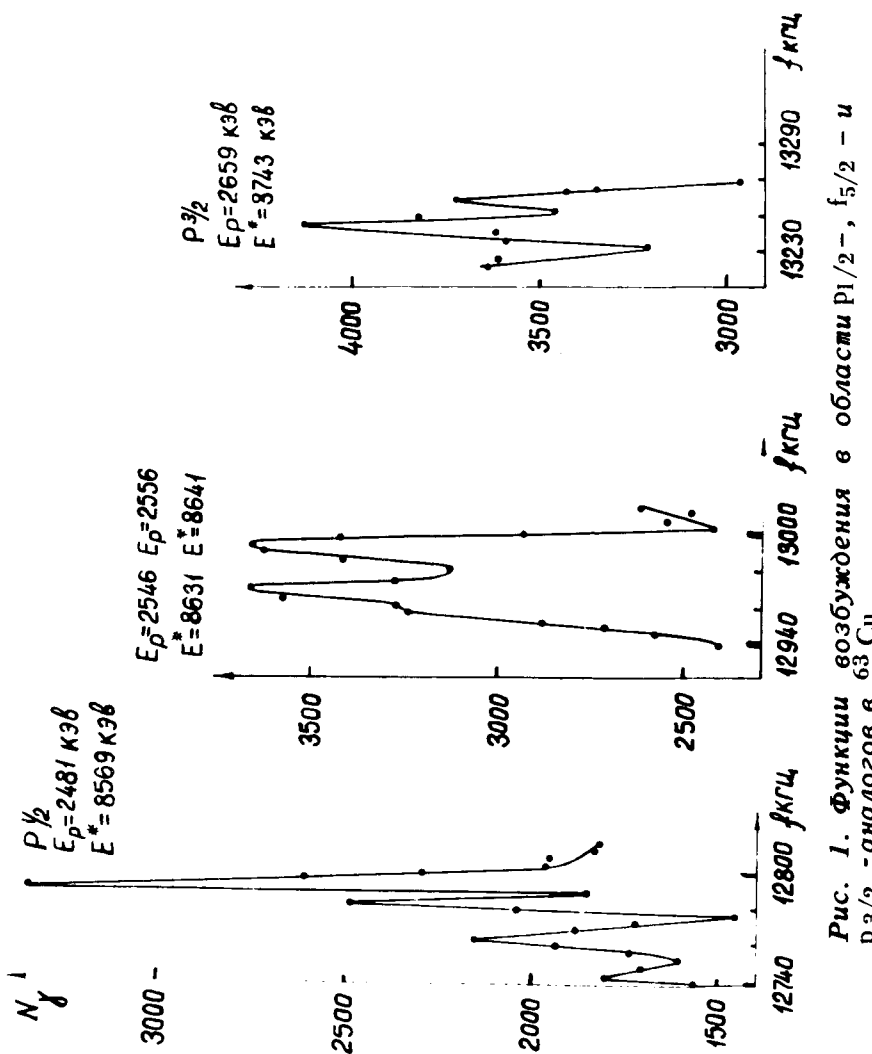


Рис. 1. Функции возбуждения в областях $P_{1/2}$, $P_{3/2}$ - и $f_{5/2}$ - аналогов в ^{63}Cu .

ΔE_c -разности кулоновских энергий членов изомультиплета/.

При измерении функции возбуждения в соответствующей энергетической области мы обнаружили три сильных резонанса с $E_p = 2546, 2556$ и 2586 кэВ . Характер их γ -распада позволяет считать, что резонансы с $E_p = 2546$ и 2556 кэВ являются компонентами расщепленного $f_{5/2}$ -аналога. Для γ -распада этих резонансов характерно интенсивное заселение состояний со спинами $3/2, 5/2$ и $7/2$, в то время как γ -распад резонанса с $E_p = 2586 \text{ кэВ}$ характеризуется сильными переходами на уровня со спином $1/2$.

Гамма-распад резонансов изучался с помощью GeLi детектора объемом 40 см^3 , помещенного под углом 90° к падающему пучку. Разрешающая способность составляла $10\text{-}12 \text{ кэВ}$ для γ -лучей с энергией $\sim 8,5 \text{ мэВ}$.

Градуировка по энергии в области до $2,5 \text{ МэВ}$ производилась по внутренним реперам. Такими реперами частично служили те γ -переходы в ^{63}Cu , энергии которых измерены с большой точностью при β -распаде $^{63}\text{Zn}/13/$, частично γ -линии, возникающие в различного рода реакциях на примесях, содержащихся в мишени или цилиндре Фарадея. При больших энергиях удобным репером служила примесная линия ^{16}O с энергией 6129 кэВ , получаемая по реакции $^{19}\text{F}(\text{p},\text{d})^{16}\text{O}$.

В спектре каждого резонанса наблюдалось более 100 линий, включающих как прямые γ -переходы с аналогов, так и γ -излучение, принадлежащее разрядке низколежащих состояний. При распаде аналогов прямыми переходами заселялись 40 уровней ^{63}Cu с энергиями до $\sim 4 \text{ МэВ}$. Для спектра каждого резонанса нами была построена схема распада, сбалансированная по энергии и интенсивности.

В таблице 1 приведены данные о прямом заселении с аналоговых резонансов уровней ^{63}Cu . В первой колонке даны их энергии, полученные из наших измерений, с указанием среднеквадратичной погрешности. Большая часть низколежащих состояний до 3100 кэВ наблюдалась при β -распаде $^{63}\text{Zn}/13/$. Исключением являются состояния с энергиями $2405, 2678, 2831, 2956$ и 2978 кэВ . Эти уровни и уровни с более высокими энергиями воз-

буждения, наблюдаемые в наших измерениях, известны из реакции неупругого рассеяния протонов на $^{63}\text{Cu}/14,15/$. Уровень 3264 кэВ введен нами впервые. Значения квантовых характеристик в колонке 2 таблицы 1 взяты из работы /13/. Для остальных уровней значения J^π неизвестны.

В работе /10/ нами были определены резонансные силы и гамма-ширины переходов на основное состояние ^{63}Cu для $p_{1/2}$, $f_{5/2}$ -и $p_{3/2}$ -аналогов. Пользуясь результатами измерений относительных интенсивностей γ -переходов, мы вычислили парциальные гамма-ширины Γ_γ , приведенные в колонках 3,5,7 и 9 таблицы 1 для $p_{1/2}$, $f_{5/2}$ -и $p_{3/2}$ -аналогов. В колонках 4,6,8 и 10 приводятся величины $B(M1)$ для соответствующих переходов. Значения гамма-ширин даны без учета углового распределения. Величины $B(M1)$ найдены в предположении, что переходы являются чистыми $M1$ -переходами. На рис. 2 представлено распределение $M1$ -силы для $p_{1/2}$, $f_{5/2}$ -и $p_{3/2}$ -аналогов.

Кроме данных о гамма-распаде аналогов, в работе получена информация о разрядке низколежащих состояний ^{63}Cu .

На рис. 3 приведена схема разрядки по данным наших измерений. Результаты по разрядке уровней, которые наблюдались также при β -распаде ^{63}Zn , в основном совпадают с результатами работы /13/. Данные о разрядке остальных состояний получены нами впервые.

Обсуждение результатов

Подробный анализ результатов работы будет сделан позднее, после проведения полной программы исследований, в которую входит измерение угловых распределений γ -излучения.

Здесь мы ограничимся рассмотрением переходов с аналога на антианалог и на состояния типа поляризации остова и сравнением вероятностей γ -перехода с аналога на какой-то уровень и β -распада из материнского состояния на тот же уровень. Соответствующие β -и γ -переходы называют аналоговыми.

Таблица I

Энергия уровня, кэВ	J^π	$P_{1/2}$ -аналог		$\frac{1}{2}^{\pm}\frac{5}{2}^-$ -аналог		$P_{3/2}$ -аналог			
		$E_p = 2481$ кэВ $E_{рез} = 8569,1 \pm 1,5$ кэВ	$E_p = 2546$ кэВ $E_{рез} = 8631,7 \pm 2,0$ кэВ	$E_p = 2556$ кэВ $E_{рез} = 8640,6 \pm 2$ кэВ	$E_p = 2659$ кэВ $E_{рез} = 8743,3 \pm 1,5$ кэВ				
		$\Gamma_\gamma \cdot 10^2$ эВ $B(M1) \cdot 10^2 \mu_0^2$							
I	2	3	4	5	6	7	8	9	10
0									
668,3+0,5	$3/2^-$	22	3,0	1,8	0,24	4,6	0,61	6,0	0,77
961,6+0,5	$1/2^-$	II	1,9	0,25	E2	1,0	E2	5,0	0,82
1325,6+0,5	$5/2^-$	2,6	E2	2,0	0,38	2,8	0,56	7,9	1,45
1410,4+0,5	$7/2^-$			1,1	0,24	1,4	0,31	1,1	E2
1546,5+0,5	$5/2^-$	5,5	E2	1,1	0,25	2,9	0,66	4,6	1,0
1860,0+1,0	$3/2^-$	I7	4,3	2,3	0,55	2,6	0,63	1,8	0,41
2012,2+1,0	$5/2^-/7/2^-$			1,0	0,28				
2060,0+1,0	$3/2^-(1/2)^-$	3,7	1,1	1,4	0,41	0,8	0,24	1,6	0,45
2080,0+1,5	$1/2-(3/2)$	7,7	2,4			1,1	E2	0,8	0,23
2333,6+1,5	$5/2^-(3/2)$					1,1	0,33	1,3	0,38
2405+3	$3/2^-(5/2)$	1,9	0,69			0,87	0,30	1,6	0,52
2497,3+1,5	$3/2^-$	10	3,9						
2533,7+2,0	$5/2-(3/2)$	0,7	0,27						
2677,9+1,8		9,9	4,2						
2697+2	$1/2^-3/2^-$	5,1	2,2						
2778+2	$3/2^-5/2^-(1/2^-)$			1,0	0,39	1,2	0,51		
2831+2,5									
2860+2	$1/2^-3/2^+5/2^-$							2,4	1,0
2886+2	$1/2^-3/2^+5/2^-$	3,3	1,6			0,7	0,32	0,8	0,30
2956+3		3,3	1,6					1,1	0,49
2978,6+1,6	$1/2^+3/2^+5/2^+$	2,6	1,3					0,9	0,40
3042+3	$1/2^+3/2^+5/2^+$	3,5	1,8			1,6	0,78	0,4	0,43
3100+3	$1/2^+3/2^+5/2^+$	4,4	2,3			0,9	0,46		

Таблица I (продолжение)

3127+3					0,9	0,46		
3224+3		4,8	2,7		0,9	0,49	1,6	0,82
3264+3		1,6	0,90		1,3	0,72		
3292+4		5,7	3,0					
3309+4		7,5	4,5	0,7	1,1	0,62	2,4	1,3
3406+3		3,5	2,2		0,40	2,5	1,42	3,8
3429+2		4,8	3,0					
3461+4		3,7	2,4					
3476+4							4,2	2,4
3535+3							1,8	1,1
3657+4		4,4	3,2				1,6	0,78
3774+4		2,6	2,0					
3902+3							2,0	1,5
3960+3							1,8	1,4
4058+5							2,2	1,8
4119+5							4,6	4,0

x) Значения резонансных сил $(2J + 1) \Gamma_P \Gamma_\gamma / \Gamma$ определены с точностью 20% для угла 90° между Γ - излучением и падающим пучком. Величины Γ_γ даны без учета углового распределения.

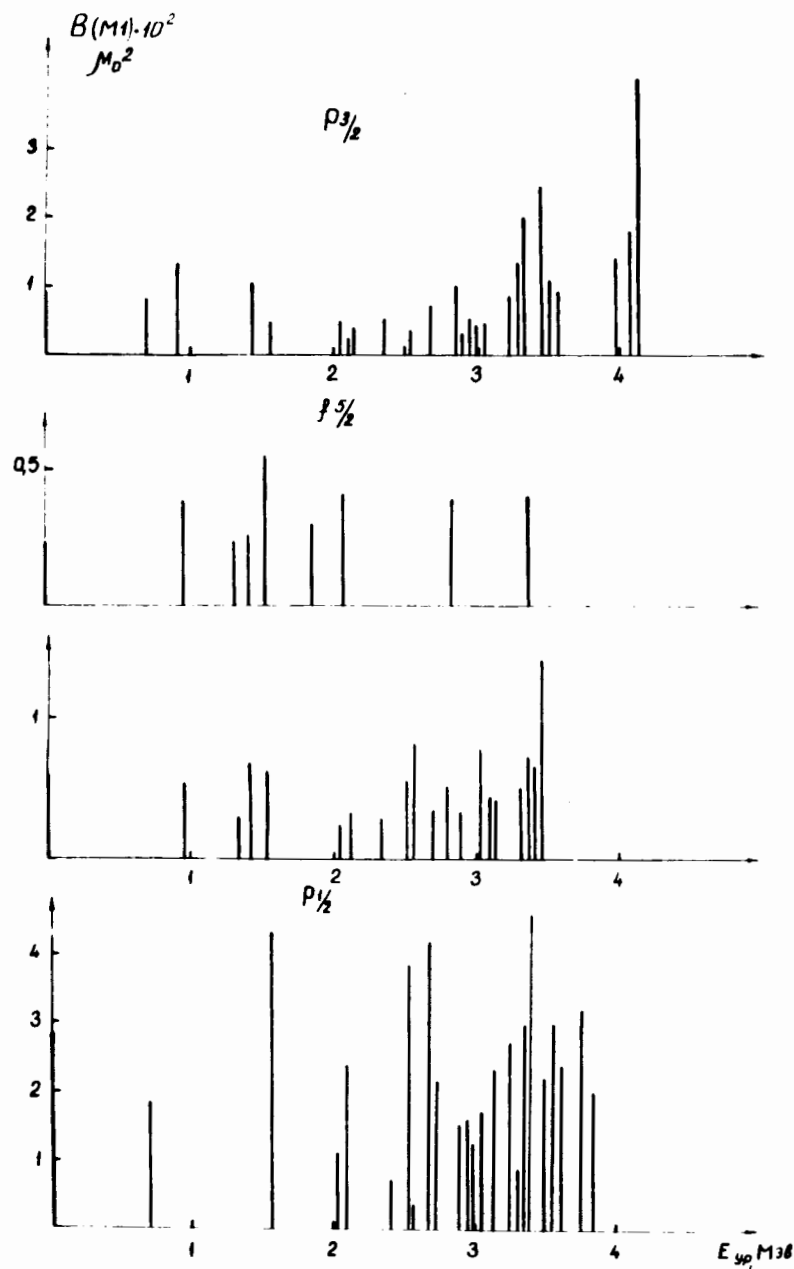


Рис. 2. Величины $B(M1)$ для γ -переходов с $P_{1/2}^-$, $F_{5/2}^-$ - аналогов на уровнях ^{63}Cu .

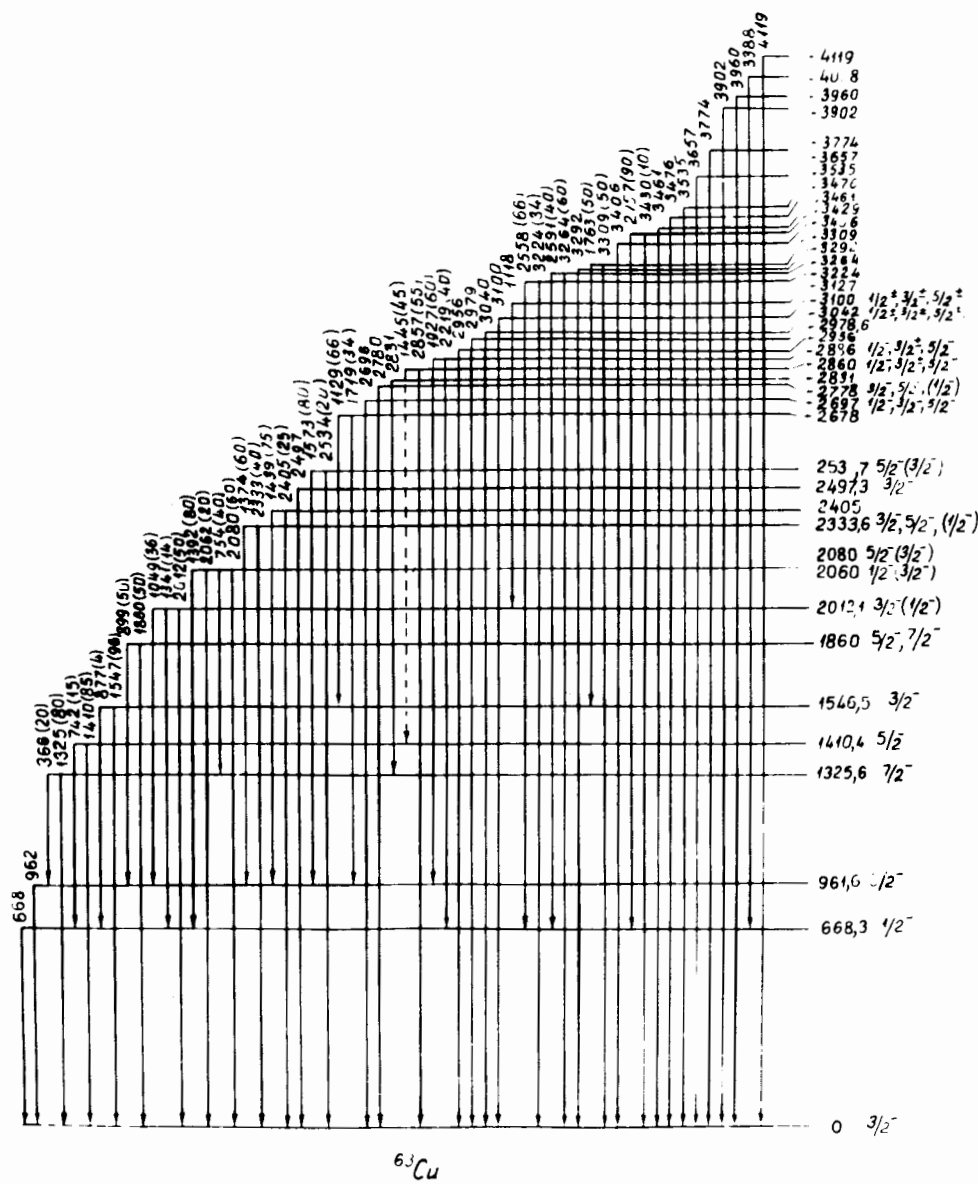


Рис. 3. Разрядка уровней ^{63}Cu .

Переходы типа аналог-антианалог

Положение антианалогового состояния ориентировочно определяется величиной изоспинового расщепления ядерных состояний. Разность энергий между $T_>$ - и $T_<$ - состояниями выражается формулой

$$E_{T_>} - E_{T_<} = 2 T_0 \frac{V_1}{A} ,$$

где T_0 - изоспин аналога, A - атомный вес ядра-мишени, $V_1 \approx 50 \text{ МэВ}$.

Иногда $T_<$ - компонента распределяется по нескольким ядерным уровням. Однако часто одно состояние несет значительную долю $T_<$ -компоненты. Такое состояние называют антианалоговым. Основой для идентификации антианалогового состояния является большой спектроскопический фактор в реакциях передачи протона.

В ядре ^{63}Cu антианалогами для $p_{1/2}^-$, $f_{5/2}^-$ и $p_{3/2}^-$ аналогов могут считаться уровни 668 кэВ , 962 и 1410 кэВ и O , имеющие большие спектроскопические факторы в реакции ($^3\text{He}, d$) /15/.

Если рассматривать состояния типа частица плюс инертный остов, то для приведенной вероятности $M1$ -перехода аналог-антианалог можно получить выражение /16/:

$$B(M1) = \frac{9}{8\pi} (2T_i + 1) \langle T_i M_T | T_f M_T \rangle^2 \times$$

$$\times j(j+1) \left\{ \frac{1/2}{T_f} \frac{1/2}{T_i} \frac{1}{T_0} \right\} (g_p - g_n)^2 ,$$

/1/

где T_0 - изоспин остова, j - угловой момент нечетной частицы, g_p и g_n - гиромагнитные отношения для протона и нейтрона, определяемые формулой

$$g_{p,n} = g_\ell \pm (g_s - g_\ell) \frac{1}{2\ell + 1} .$$

Здесь g_ℓ и g_s - орбитальное и спиновое гиромагнитные отношения, выраженные в единицах $e\hbar / 2M_p c$:

$$g_\ell = \begin{cases} 1, & \text{для протона,} \\ 0, & \text{для нейтрона.} \end{cases}$$

$$g_s = \begin{cases} 5,58 & \text{для протона,} \\ -3,82 & \text{для нейтрона.} \end{cases}$$

Знаки \pm относятся к случаям $j = \ell \pm 1/2$.

Величина $(g_p - g_n)$ оказывает существенное влияние на вероятность перехода. В случае переходов между состояниями с $j > = \ell + 1/2$ получается максимальное значение $(g_p - g_n)$. Для переходов между состояниями с $j < = \ell - 1/2$ эта величина имеет минимальное значение. Поэтому $M1$ -переходы для состояний $j >$ могут быть усилены в 20-200 раз по сравнению с $M1$ -переходами для $j <$.

Экспериментальные и рассчитанные по ф-ле /1/ значения величин $B(M1)$ для переходов аналог-антианалог в ^{63}Cu приведены в таблице 2. Видно, что предсказание одночастичной модели для абсолютных значений $B(M1)$ выполняется по порядку величины в случае переходов $p_{1/2}^- - p_{1/2}^+$ и $f_{5/2}^- - f_{5/2}^+$ ($j < - j <$). Для $p_{3/2}^-$ -аналога наблюдается торможение перехода аналог-антианалог более чем на 2 порядка. Соответственно относительные интенсивности переходов типа $j > - j >$ и $j < - j <$ сильно отличаются от расчетных. Похожая ситуация наблюдалась для $^{61}\text{Cu}^{4+}$.

Состояния типа поляризации остова

Анализ вероятностей переходов типа аналог-антианалог в ядрах sd -, $f_{7/2}$ - и fp -оболочки сделан в ряде работ /2,3,16,17/. Эффект заторможенности этих переходов для $p_{3/2}^-$ -аналогов в ядрах fp -оболочки связан с интенсивным заселением состояний типа поляризации остова /корополяризационных/, лежащих при больших энергиях возбуждений /3/.

Эффект концентрации переходов с $p_{3/2}^-$ -аналога на уровнях с энергиями около 3 МэВ наблюдался в ядре $^{61}\text{Cu}^{5+}$. Сумма приведенных вероятностей $M1$ -переходов

Таблица 2

Аналог	$B(MI) \cdot 10^2 \mu_0^2$	
	аналог-антианалог	
	эксперимент	теория
$P_{1/2}$	1,9	7,7
$d_{5/2}$	1,85	1,1
$P_{3/2}$	0,77	170

Таблица 3

уровень	$\log ft$	$B(MI, 6) \cdot 10^2$	$B(MI) \cdot 10^2$
^{63}Cu	$^{63}\text{Ni} - ^{63}\text{Cu}$	μ_0^2	μ_0^2
0, 3/2 ⁻	6,5	0,0010	0,030

на уровнях в этой области энергий составила 30% от общей наблюдаемой силы, а величина $B(M1)$ для перехода аналог-антианалог - 15%. Для этого ядра $P_{3/2} - P_{3/2}$ переход был заторможен в 10 раз по сравнению с одночастичной оценкой.

В ^{63}Cu концентрация переходов с $P_{3/2}$ -аналога приходится на область энергий 3-4 МэВ, причем степень концентрации в этом случае значительно больше, чем для ^{61}Cu . Сумма величин $B(M1)$ для переходов на уровнях с энергиями 3-4 МэВ составляет 70% от наблюдаемой силы, в то время как $B(M1)$ для перехода аналог-антианалог составляет всего 3%. Для этого ядра, как видно из таблицы 2, $P_{3/2} - P_{3/2}$ переход заторможен более чем в 200 раз по сравнению с одночастичной оценкой.

Заметим, что подобная же тенденция уменьшения вероятности $M1$ -переходов типа аналог-антианалог с увеличением изоспина ядра наблюдалась для распада $g_{9/2}$ -аналогов в ядрах $^{59,61,63}\text{Cu}$ в работе /18/.

Аналоговые β^- -и γ -переходы

Ядро $^{63}\text{Ni}(1/2^+)$ распадается на основное состояние $^{63}\text{Cu}(3/2^+)$.

Аналоговым для этого β^- -перехода является γ -переход с $P_{1/2}$ -аналога на основное состояние ^{63}Cu .

Между величиной f_t для гамов-теллеровского β -перехода и величиной $B(M1)$ аналогового γ -перехода существует связь, выражаемая формулой

$$f_t = \frac{11530}{T_0 B(M1, \sigma)} . \quad /2/$$

Здесь T_0 - изоспин аналога, $B(M1, \sigma)$ - приведенная вероятность изовекторного $M1$ γ -перехода. Выражение /2/ связывает величину f_t только со спиновой частью оператора $M1$ -перехода, вкладом ℓ -части пренебрегаем. В таблице 3 дано значение $B(M1, \sigma)$, вычисленное из величины f_t по ф-ле /2/, и значение $B(M1)$ соответ-

ствующего γ -перехода. Наблюдается значительное превышение величины $B(M1)$ по сравнению с $B(M1, \sigma)$: $B(M1)/B(M1, \sigma) = 30$.

Систематика отношений $B(M1)/B(M1, \sigma)$ для ряда ядер, приведенная в работе /3/, показывает, что это отношение, как правило, больше 1: в большинстве случаев эта величина лежит в пределах от 1 до 5.

Значение отношения $B(M1)/B(M1, \sigma)$ для ^{63}Cu является самым большим. Из этого можно было бы сделать вывод о значительном вкладе ℓ -части в рассматриваемый переход. Однако нужно учесть, что для γ -перехода с $P_{1/2}$ -аналога на основное состояние ^{63}Cu с $J'' = 3/2^+$ не определено отношение смеси $E2/M1$. Изучение углового распределения γ -лучей в этом случае не дает сведений о величине смеси, так как спин начального состояния, равный $1/2$, приводит к изотропии γ -излучения. Возможная неучтенная $E2$ -примесь в γ -переходе в данном случае может оказаться существенной, так как пренебрежение ею приведет к завышению величины $B(M1)$, а это как раз и есть тот эффект, который мы наблюдаем.

Литература

1. S.Hanna. In: *Isospin in Nucl. Phys.* Ed.D.Wilkinson. North Holland. Amsterdam, 593, 1969.
2. Ю.В.Наумов, О.Е.Крафт. Изоспин в ядерной физике. Изд. Наука, Ленинград, 1972.
3. Ю.В.Наумов. Изв. АН СССР, сер. физ., 38, 1617, 1974.
4. О.Е.Крафт, П.П.Лебедев, Ю.В.Наумов, И.В.Сизов. Сообщения ОИЯИ, Р15-7072, Дубна, 1973.
5. О.Е.Крафт, Ю.В.Наумов, И.В.Сизов. Сообщения ОИЯИ, Р15-8201, Дубна, 1974.
6. О.Е.Крафт, Ю.В.Наумов, И.В.Сизов. Сообщения ОИЯИ, Р15-8202, Дубна, 1974.
7. О.Е.Крафт, Ю.В.Наумов, С.С.Паржицкий, И.В.Сизов. Прогр. и тезисы докладов на 25 Совещ. по яд. спектр. и структуре ат. ядра, стр. 56, Ленинград, "Наука", 1975.
8. О.Е.Крафт, Ю.В.Наумов, С.С.Паржицкий, Л.В.Романова, И.В.Сизов. Прогр. и тезисы докладов на 24 Совещ. по яд. спектр. и структуре ат. ядра, стр. 55, Харьков, "Наука", 1974.

9. *O.E.Kрафт, Ю.В.Наумов, С.С.Паржицкий, И.В.Сизов.*
Прогр. и мезисы 25 Совещания по яд. спектр. и
структуре ат. ядра, стр. 63, Ленинград, "Наука", 1975.
10. *O.E.Kрафт, Ю.В.Наумов, И.В.Сизов.* Изв. АН СССР,
сер. физ., 39, 70, 1975.
11. *J.Browne, H.Newson, E.Bilpuch, G.Mitchell.* Nucl.
Phys., 153, 481, 1970.
12. *K.Ramavataram, C.Yang, G.Mercier.* G.St.-Pierre,
d. Sykes. Phys.Rev., C9, 237, 1974.
13. *A.Klaasse, P.Goudsmit.* Zs.Phys., 266, 75, 1974.
14. *M.Mazari, W.Buechner, R. de Figueiredo.* Phys.
Rev., 108, 373, 1957.
15. *Nucl. Data.* B2, No. 3, 1967.
16. *S.Maripuu.* Nucl.Phys., A123, 357, 1969.
17. *H.Klapdor.* Phys.Lett., 35B, 405, 1971.
18. *J.Szentpetery, Y.Szücs.* Phys.Rev.,Lett., 28, 378,
1972.

*Рукопись поступила в издательский отдел
18 апреля 1975 года.*